

# طراحی لرزه‌یی قاب‌های ساختمانی توأم با مهاربندی‌های هم‌گرا از طریق ایجاد تغییرات دما در اعضاء مهاربندی

ابذر اصغری\* (استادیار)

حمید اسدی (کارشناس ارشد)

دانشکده‌ی هندسی عمران، دانشگاه صنعتی ارومیه

مهمنشی عمران شرکت، (پیمان ۱۳۹۵) - ۲۳، شماره ۷ / ۱۰ ص. ۱۵۹-۱۶۱، (پادشاهت فقیه) دری ۲ - ۳، شماره ۲ / ۱۰ ص.

آئین نامه‌های طراحی، هرچند وقت یک بار با اضافه کردن الزامات و ضوابطی نسبت به ویرایش‌های قبلی تغییر می‌کنند. به واسطه‌ی این تغییرات، باید نرم‌افزارهای تحلیل و طراحی نیز به روز شوند. در آئین نامه‌ی طراحی لرزه‌یی AISC ۳۴۱-۱۰ قید شده است که در قاب‌های مهاربندی هم‌گرا و پیله، تیرها و ستون‌ها باید برای نیروهای نظیر تسخیم مورد انتظار مهاربندها طراحی شوند. از آنجایی که کنترل این بند آئین نامه، با قابلیت‌های فعالی نرم‌افزارهای SAP ۲۰۰۰ و ETABS، وقت‌گیر و دشوار است، می‌توان به جای بارگذاری‌های از نوع نیرو، از بارگذاری تغییر دمایی استفاده کرد. استفاده از این روش در قاب‌های مهاربندی شده، که باید ضوابط طراحی لرزه‌یی مندرج در آئین نامه‌ی AISC ۳۴۱-۱۰ را ارضاء کند، روش کارآمدی است. بدین صورت که با ایجاد تغییر در مدول کشسانی مصالح مهاربندها، به جای استفاده از بارگذاری نیرویی، با اختصاص دادن تغییر دمایی متناظر این نیروها به اعضاء مهاربندی می‌توان به سهولت طراحی لرزه‌یی قاب‌های ساختمانی توأم با مهاربندی‌های هم‌گرا را انجام داد.

a.asghari.69@gmail.com  
hamid.asadi66@gmail.com

وازگان کلیدی: قاب مهاربندی هم‌گرا و پیله، بارگذاری تغییر دمایی، طراحی لرزه‌یی قاب‌های مهاربندی هم‌گرا.

## ۱. مقدمه

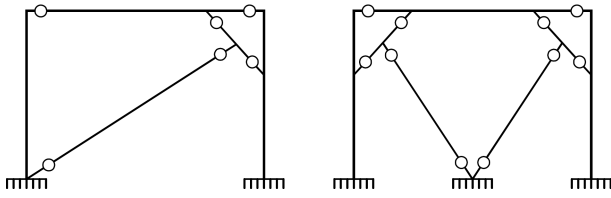
مهاربندهای هم‌گرا، کمانش اعضاء مهاربندی و در نتیجه کاهش شکل‌پذیری این‌گونه سیستم‌های سازه‌یی است.<sup>[۱,۲]</sup> در سال‌های اخیر، برای جلوگیری از کمانش اعضاء مهاربندی و نیز افزایش شکل‌پذیری این‌گونه سیستم‌های سازه‌یی مطالعات گسترشده‌یی صورت گرفته است. در پژوهشی در سال ۲۰۰۴ نشان داده شده است که استفاده از مهاربندهای هم‌محور کمانش ناپذیر می‌تواند رفتار چرخه‌یی این‌گونه سیستم‌های سازه‌یی را بهبود بخشد و نتیجتاً شکل‌پذیری آنها را افزایش دهد.<sup>[۳]</sup> در پژوهش دیگری (۲۰۰۵) نیز نشان داده شده است که استفاده از مهاربندهای زانوئی در صورتی که طراحی آنها به‌گونه‌یی باشد که عضو زانوئی در برش تسخیم شود، می‌تواند با واسطه‌ی تغییرشکل‌های غیرکشسان اعضاء زانوئی از کمانش مهاربندها جلوگیری کند و باعث استهلاک انرژی ناشی از زلزله و نتیجتاً باعث افزایش شکل‌پذیری آنها شود (شکل ۱).<sup>[۴]</sup> متناسب با نتایج به دست آمده از پژوهش‌های این‌گونه سیستم‌های سازه‌یی، مهاربندی سازه‌یی قاب ساختمانی ساده توأم با مهاربندهای هم‌گرا و نیز مشاهده‌های صورت‌گرفته از مکانیزم‌های خرابی این‌گونه سیستم‌های سازه‌یی، چه در آزمایشگاه‌ها و چه در اثر زلزله‌های صورت‌گرفته، آئین نامه‌های طراحی ساختمان‌ها نیز تلاش کردن تا حدودی نفایص این‌گونه سیستم‌های سازه‌یی را پوشش دهند. به همین منظور در ویرایش جدید مبحث دهم مقررات ملی ساختمان و نیز در ویرایش اخیر آئین نامه‌ی

امروزه سیستم قاب ساختمانی ساده توأم با مهاربندهای هم‌گرا، یکی از رایج‌ترین سیستم‌های باربر جانبی به‌شمار می‌رود. اگرچه در آئین نامه‌های طراحی استفاده از این‌گونه سیستم‌های سازه‌یی به قاب‌های تا ارتفاع ۵۰ متر و یا ۱۵ طبقه محدود می‌شود، لیکن به دلیل آنکه بیشتر ساختمان‌های شهری عموماً زیر ۱۵ طبقه هستند، لذا دامنه‌ی کاربرد آن می‌تواند بسیار وسیع باشد.<sup>[۵]</sup> به طور کلی، در نزد مهندسان محاسب، داشتن سختی قابل توجه این‌گونه سیستم‌های سازه‌یی و در نتیجه، کاهش قابل توجه تغییرمکان جانبی نسی طبقات و بی‌نیاز به جوش‌های با نفوذ کامل در اتصالات این‌گونه سیستم‌های سازه‌یی و نیز مقرون به صرفه‌بودن آنها نسبت به سایر سیستم‌های سازه‌یی متعارف مهم ترین حسن این‌گونه سیستم‌های سازه‌یی و از طرفی ایجاد محدودیت معماری در طرح و نگرانی از کمانش اعضاء مهاربندی در هنگام زلزله و نیز پایین‌بودن سطح شکل‌پذیری این‌گونه سیستم‌های سازه‌یی، مهم‌ترین عیب آنها به‌شمار می‌رود.<sup>[۶]</sup>

یکی از نگرانی‌های اصلی در سیستم‌های سازه‌یی قاب ساختمانی ساده‌ی توأم با

\* نویسنده مسئول

تاریخ: دریافت ۲/۱۱/۱۳۹۲، اصلاحیه ۱۹/۳/۱۳۹۳، پذیرش ۲۱/۴/۱۳۹۳.



شکل ۱. قاب ساختمانی ساده تواً با مهاربند زانوئی.

ت) در قاب‌های مهاربندی شده‌ی همگرای ویژه، نیروی جانبی باید بین کلیه‌ی مهاربندی‌های کششی و فشاری توزیع شود و مهاربندی‌ها باید برای بیشینه‌ی نیروی ایجادشده در آنها تحت اثر ترکیبات بار متعارف طراحی شوند. در قاب‌های مهاربندی شده‌ی همگرای ویژه، طراحی مهاربندی‌ها به صورت فقط کششی مجاز نیست.

ث) مهاربندی‌ها در امتداد هر محور در هر طبقه باید طوری در نظر گرفته شوند که در هر راستای بارگذاری کمینه‌ی  $30\%$  و بیشینه‌ی  $70\%$  نیروی جانبی سهم آن محور در کشش تحمل شود، مگر آنکه اعضاء مهاربندی‌های فشاری، مقاومتی بیشتر از آنچه تحلیل سازه برای بار زلزله از جمله ترکیبات بار تشیدی‌یافته نشان می‌دهد، داشته باشند.

ج) ضریب لاغری ( $KL/r$ ) مهاربندی‌های فشاری در قاب‌های مهاربندی شده با هر نوع مهاربندی (قطري، ضرب دري،  $7$  و  $8$ )، باید از  $200$  تجاوز کند.

نحوه کنترل الزامات جدید این آئین نامه‌ها، از طریق قابلیت‌های فعلی نرم‌افزارهای تحلیلی از جمله ETABS و SAP<sup>۲۰۰۰</sup> و AISC<sup>۳۴۱-۱۰</sup>، ضمن معرفی سیستم‌های قاب مهاربندی شده‌ی همگرای ویژه، نسبت به ویرایش قبلی آنها (ویرایش ۱۳۸۷ مبحث دهم و  $۵$ )، محدودیت‌های بارگذاری زلزله و آئین نامه‌ی طراحی صورت گرفت.<sup>[۱۱]</sup> مقاومت ستون‌ها توسط ترکیبات بارگذاری تشیدی‌یافته زلزله طبق الزامات طرح لرزه‌یی صورت گرفت، ابتدا باید مهاربندها را حذف و برای جلوگیری از نایابداری سیستم، کف‌های سازه را در برابر حرکت جانبی مقدی کرد. سپس با اعمال نیروی ارائه شده در رابطه  $1$ ، در راستای مهاربندهای کششی حذف و اعمال نیروی ارائه شده در رابطه  $2$  و یا  $3$ ، در راستای مهاربندهای فشاری حذف و قاب در حضور بارهای نقلی تحلیل و طراحی شود. از آنجایی که اختصاص نیروها به غیر از راستای افقی و قائم، در این نرم‌افزارها امکان پذیر نیست، باید این نیروها را در راستای افق و قائم تجزیه کرد و در گره‌های موردنظر اعمال شوند.<sup>[۱۲]</sup>

از طریق به دلیل منظور کردن اثر رفت و برگشتی زلزله، باید دو مرتبه این بارگذاری و کنترل‌ها انجام شود و این کار مستلزم سراف زمان قابل توجهی است. هر چند برای قاب‌های مهاربندی شده با تعداد طبقات کم و تعداد دهانه‌ی مهاربندی کم، روش بارگذاری نیرویی، روش خوبی است؛ ولی در سازه‌های با تعداد طبقات بالا و نیز با تعداد دهانه‌ی مهاربندی زیاد (مانند شکل  $2$ ، امکان وقوع اشتباہ زیاد خواهد بود و استفاده از روش بارگذاری نیرویی، علاوه بر صرف زمان زیاد، به دقت زیادی در اختصاص دادن این نیروها، به گره‌ها نیاز خواهد داشت.

در این پژوهش با ارائه‌ی یک روش با عنوان بارگذاری تغییر دمایی و با استفاده از قابلیت‌های موجود در نرم‌افزارهای تحلیل‌گر ذکر شده با کمک مقاهم مقاومت مصالح، به جای اختصاص دادن نیروهای مذکور با اختصاص دادن تغییر دمایی که باعث به وجود آمدن این نیروها در اعضاء مهاربندی شود، ضوابط طرح لرزه‌یی اخیر کنترل می‌شود. این روش، راه حل مناسبی برای تحلیل و طراحی قاب‌هایی با پیکربندی همانند شکل  $2$  خواهد بود.

## ۲. بارگذاری به روش ایجاد تغییر دما

اگر عضوی مانند شکل  $3$  به طول مشخص، با سطح مقطع یکنواخت و ضریب انبساط حرارتی مشخص، که آزادانه روی یک سطح صیقلی افقی قرار گرفته است، را در نظر بگیریم.

از مقاومت مصالح به خاطر داریم چنانچه عضو تحت اثر تغییر دما قرار گیرد، بسته به اینکه این تغییر دما مثبت و یا منفی باشد، دچار افزایش و یا کاهش طول

AISC<sup>۳۴۱-۱۰</sup> سعی شده است با اضافه کردن الزامات طراحی لرزه‌یی، رفتار غیرکشسان ساختمان‌هایی که براساس تحلیل‌های کشسان طراحی می‌شوند، به طور قابل قبول تخمین زده و از نگرانی در مورد رفتار غیرکشسان این‌گونه سیستم‌های سازه‌یی را در هنگام وقوع زلزله کاسته شود.<sup>[۸,۹]</sup>

با اضافه شدن این ضوابط و الزامات، نرم‌افزارهای تحلیل و طراحی ساختمان‌ها نیز باید به روز شود و همگام با آئین نامه‌ها، قابلیت‌های آنها افزایش یابد. در ویرایش جدید مبحث دهم مقررات ملی ساختمان و نیز در ویرایش اخیر آئین نامه‌ی طراحی لرزه‌یی AISC<sup>۳۴۱-۱۰</sup>، ضمن معرفی سیستم‌های قاب مهاربندی شده‌ی همگرای ویژه، نسبت به ویرایش قبلی آنها (ویرایش ۱۳۸۷ مبحث دهم و  $۵$ )، محدودیت‌هایی در سیستم‌های باربر جانبی مذکور، تیرها و ستون‌ها باید برای بیشینه‌ی نیروی کششی و فشاری مهاربندها صورت گیرد. از طرف مهاربندها طراحی شوند. فلسفه‌ی اضافه شدن این بند آن است که مفاصل خمیری ابتدا در مهاربندها تشکیل شود و تشکیل مفاصل خمیری در ستون‌ها به تعویق بیند، تا استهلاک اتری در این‌گونه سیستم‌ها، توسط مهاربندها صورت گیرد و ستون‌ها در حین زلزله، رفتارشان کشسان باقی بماند. در آئین نامه‌های مذکور عنوان شده است که مقاومت‌های طراحی تیرها، ستون‌ها، و اتصالات آنها در قاب‌های مهاربندی شده‌ی همگرای ویژه نباید از نیروهای ناشی از این تحلیل‌ها کوچک‌تر در نظر گرفته شوند:

الف) تحلیلی که در آن فرض می‌شود نیروی مهاربندی‌های کششی برابر  $R_y F_y A_g$  (رابطه  $1$ ) و نیروی مهاربندی‌های فشاری برابر  $1/14 F_{cre} A_g$  (رابطه  $2$ ) است.

ب) تحلیلی که در آن فرض می‌شود نیروی مهاربندی‌های کششی برابر  $R_y F_y A_g$  و نیروی مهاربندی‌های فشاری برابر  $1/14 F_{cre} A_g \times 10/3$  (رابطه  $3$ ) است.

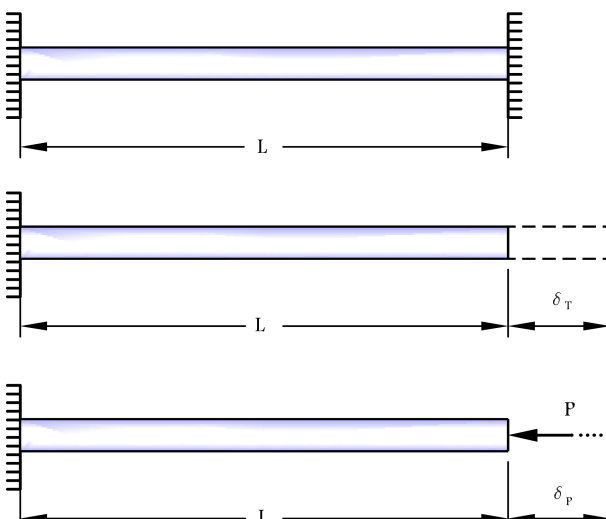
$$T = R_y F_y A_g \quad (1)$$

$$C_1 = 1/14 F_{cre} A_g \quad (2)$$

$$C_2 = 10/3 \times 1/14 F_{cre} A_g \quad (3)$$

که در آن‌ها،  $T$  نیروی مورد انتظار مهاربندی‌های کششی؛  $C$  نیروی مورد انتظار مهاربندی‌های فشاری؛  $A_g$  سطح مقطع کلی عضو مهاربندی؛  $F_y$  تنش تسلیم فولاد؛  $R_y$  نسبت تنش تسلیم مورد انتظار فولاد ( $F_{ye}$ ) به کمینه‌ی تنش تسلیم تعیین شده ( $F_y$ )، به منظور در نظر گرفتن افزایش مقاومت مورد نیاز مقدار این ضریب بسته به نوع تولیدات فولاد متفاوت است و به عوامل متعددی نظر شکل مقاطع و افزودنی‌های به کار رفته در طی روند تولید فولاد در کارخانجات بستگی دارد و عموماً بین  $1/1$  الی  $4/1$  است؛  $F_{cre}$  تنش فشاری مورد انتظار ناشی از کمایش، که در محاسبه‌ی آن، به جای  $F_y$  از  $F_{ye}$  استفاده می‌شود؛  $F_{ye}$  تنش تسلیم مورد انتظار فولاد.

پ) مقاطع اعضاء مهاربندی‌ها و ستون‌های نظیر دهانه‌های مهاربندی شده باید از نوع فشرده‌ی لرزه‌یی و مقاطع بقیه‌ی ستون‌ها باید فشرده باشند.



شکل ۵. عضو محدوده از دو انتهای.

که در آن،  $\delta_T$  تغییر طول عضو در اثر نیروی محوری؛  $E$  مدول کشسانی مصالح عضو تحت نیروی محوری؛  $A$  سطح مقطع عضو.

حال اگر در يك عضو استاتیکی نامعین مانند شکل ۵، تغییر طول های حاصل از تغییر درجه حرارت، به وسیله‌ی تکیه‌گاهها محدود شوند، تغییر طول عضو صفر و در نتیجه، کرنش طولی عضو صفر خواهد بود و این عمل باعث به وجود آمدن تنش‌های حرارتی در داخل عضو می‌شود.

این مسئله‌ی نامعین استاتیکی را می‌توان با استفاده از روش جمع آثار قوا حل کرد. بدین صورت که تغییر دما باعث به وجود آمدن دو نیروی برابر و مخالف  $P$  در تکیه‌گاهها می‌شود که مانع از افزایش طول عضو و باعث به وجود آمدن تنش در عضو می‌شوند.

بنابراین نخست باید مقدار عکس‌العمل‌های تکیه‌گاهی براساس این شرط که افزایش طول میله برابر صفر است، محاسبه شوند. با جدا کردن يك انتهای عضو از تکیه‌گاه، افزایش آزادانه‌ی طول ایجاد شده در عضو به علت تغییر دما از رابطه‌ی ۴ به دست می‌آید. سپس با وارد کردن نیروی عکس‌العمل تکیه‌گاهی بر انتهای آزاد، تغییر طول متناظر از رابطه‌ی ۵ به دست می‌آید. از آنجایی که به علت مقید بودن عضو توسط تکیه‌گاهها، تغییر طول کلی عضو باید برابر صفر باشد، لذا با فرض افزایش تغییرات دما، رابطه‌ی ۶ به دست می‌آید، که براساس افزایش تغییرات دما تنظیم شده است:

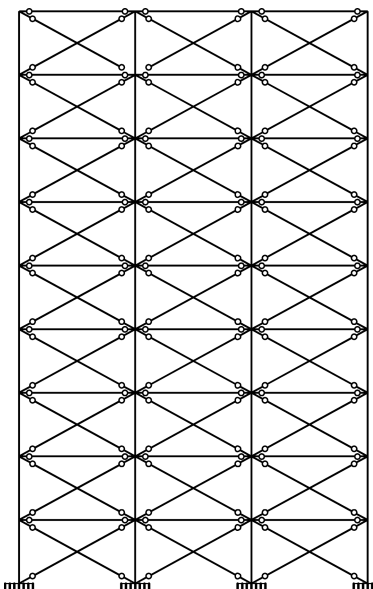
$$\delta = 0 \Rightarrow \delta_T + \delta_P = 0 \Rightarrow \alpha L \Delta T + \frac{P L}{E A} = 0 \quad (6)$$

$$\Delta T_T = -\frac{P}{E A \alpha}$$

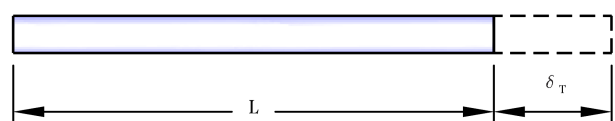
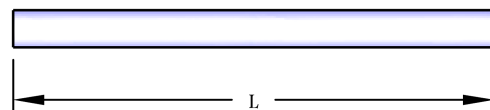
همچنین برای به دست آوردن روابط براساس کاهش تغییرات دما، کافی است به جای  $\Delta T - \Delta T$  در روابط قرار داده شود، که اگر این تغییرات صورت گیرد، رابطه‌ی ۷ به دست می‌آید:

$$\Delta T_c = \frac{P}{E A \alpha} \quad (7)$$

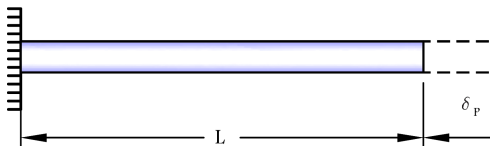
که در آن‌ها، منظور از  $\Delta T_T$ ، تغییر دمای متناظر نیروی کششی و منظور از  $\Delta T_c$  تغییر دمای متناظر نیروی فشاری است. نکته‌ی مهم این است که روابط ذکر شده، در حالت نبودن هرگونه کرنش در عضو، فقط در صورتی که عضو همگن و همسان‌گرد



شکل ۲. قاب با تعداد دهانه‌ی مهاربندی زیاد.



شکل ۳. عضو روی سطح صیقلی.



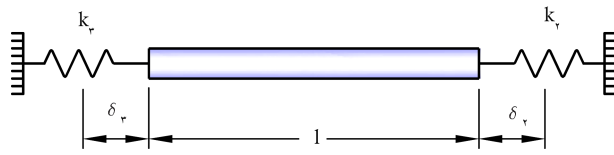
شکل ۴. عضو تحت نیروی محوری.

به صورت تجربی اثبات شده است که این تغییر طول و تغییر دما با یکدیگر رابطه‌ی خطی دارند و تغییر طول عضو در اثر تغییر درجه حرارت توسط رابطه‌ی ۴ بیان می‌شود:

$$\delta_T = \alpha L \Delta T \quad (4)$$

که در آن،  $\alpha$  ضریب انبساط حرارتی؛  $\Delta T$  تغییر درجه حرارت عضو؛  $L$  طول اولیه عضو؛  $\delta_T$  تغییر طول عضو در اثر تغییر درجه حرارت. در یک عضو استاتیکی معین، به دلیل آنکه با تغییر درجه حرارت، عضو به صورت آزادانه انبساط می‌باید، لذا در آن تنشی به وجود نخواهد آمد. از طرفی اگر عضو نشان داده شده در شکل ۴ به طول مشخص و سطح مقطع یکنواخت، تحت اثر نیروی محوری قرار گیرد، طبق قانون هوك، تغییر طول آن، از طریق رابطه‌ی ۵ به دست می‌آید:

$$\delta_P = \frac{P L}{E A} \quad (5)$$



شکل ۸. مدل ریاضی عضو مهاربندی در سایر طبقات.

روش جمع آثار قوا، می توان به این صورت رابطه سازی کرد:

-- رابطه سازی برای مدل شکل ۸ (روابط ۸ الی ۱۱):

$$\delta_{T_{total}} = 0 \Rightarrow \delta_1 + \delta_2 + \delta_T + \delta_P = 0 \quad (8)$$

$$\delta_1 = P_r / K_r \quad (9)$$

$$\delta_2 = P_r / K_r \quad (10)$$

$$\frac{P_r}{K_r} + \frac{P_r}{K_r} + \frac{PL}{EA} + L\alpha\Delta T = 0 \quad (11)$$

از آنجایی که نیرو در کل طول اعضاء، که به صورت سری به یکدیگر متصل شده اند، برای است: می توان روابط ۱۲ و ۱۳ را نوشت:

$$P_r = P_r = P \quad (12)$$

$$\Delta T = -\frac{P}{L\alpha} \left( \frac{1}{K_r} + \frac{1}{K_r} + \frac{L}{EA} \right) \quad (13)$$

-- رابطه سازی برای مدل شکل ۷:

در طبقه اول نیز رابطه سازی مطابق روند طی شده ذکرشده است، با این تفاوت که از یک انتهای توسط تکیه گاه مقید است و در نهایت رابطه ای ۱۴ برای آن به دست می آید:

$$\Delta T = -\frac{P}{L\alpha} \left( \frac{1}{K_1} + \frac{L}{EA} \right) \quad (14)$$

در روابط ذکرشده،  $\delta_1$ ،  $\delta_2$  و  $\delta_3$  تغییر طول ابتدا و انتهای عضو؛  $K_1$ ،  $K_2$  و  $K_3$  سختی معادل ابتدا و انتهای گرهی اتصال در راستای عضو قطری. برای بارگذاری تغییر دمایی، در این گونه مدل ها به جای بارگذاری نیرویی، با اختصاص دادن  $\Delta T$  نظر این نیروها مطابق روابط ۱۳ و ۱۴ به اعضاء مهاربندی، نیروهای ذکر در این اعضاء به وجود خواهد آمد.

سختی های معادل ابتدا و انتهای گرهی اتصال ( $K_1$ ،  $K_2$  و  $K_3$ )، یگانه مجهولات روابط ذکر هستند.

از آنجایی که مشخصات گره های اتصال به علت تغییر اعضاء سازه در ارتفاع ساختمان تغییر می کند، به دست آوردن این سختی ها باعث پیچیده تر شدن استفاده از این روش می شود و عملاً آن را غیر قابل استفاده می کند. به همین دلیل باید به دنبال روش های ساده تر باشیم.

### ۳. روش ساده شده بارگذاری تغییر دمایی و نحوه انجام آن در نرم افزار

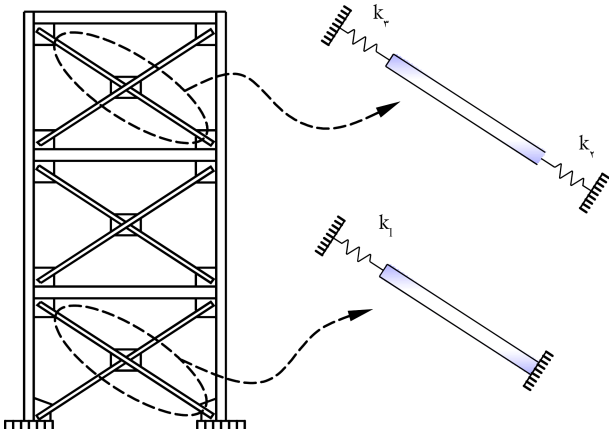
پس از مورد بررسی قراردادن تعداد زیادی از قاب های ساختمانی توان با مهاربند های همگرا و پیکربندی های مختلف و همچنین با شرایط تکیه گاهی و تعداد طبقات مختلف نتیجه آن شده است که می توان با اعمال تغییراتی در خواص مکانیکی

با سطح مقطع یکنواخت باشد، صادق هستند. در این گونه مسائل که عضو از دو انتهای در برابر افزایش و یا کاهش طول مقید شده باشد، با استفاده از روابط ۶ و ۷ می توان با اعمال بارگذاری تغییر دمایی، نیروی موردنظر را در داخل اعضاء ایجاد کرد.

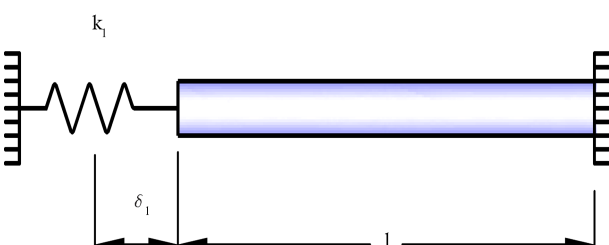
در سازه های ساختمانی متداول، بهندرت مدل های ساده شده بی مانند شکل ۵ وجود دارد که از دو انتهای کاملاً مقید باشند و تغییر مکان ابتدا و انتهای عضوی نسبت به هم دقیقاً برابر صفر باشد. مدل های موجود در سازه های ساختمانی مانند شکل ۶ هستند. در چنین مواردی که عضو قطری به علت مقید بودن کامل گره اتصال (منظور محل تقاطع تیر و ستون و اعضاء مهاربندی است)، رابطه سازی کمی پیچیده تر خواهد بود. بدین صورت که در صورت اعمال بارگذاری تغییر دمایی، در اعضاء هم کرنش و هم تنش به وجود خواهد آمد. همان طور که در شکل ۶ ملاحظه می شود، در مدل ریاضی اعضاء قطری، اثر سختی محوری محل تقاطع تیر و ستون در راستای مهاربند به وسیله ای فنزی با سختی معادل، در دو انتهای عضو قطری لحاظ شده است.

به دلیل آنکه اثر وزن اعضاء قطری به دلیل هم راستابودن، از قبل در فنرها اعمال شده است، می توان مدل ریاضی شکل ۶ را به صورت شکل های ۷ و ۸ [۱۳] در صورت افقی در نظر گرفت و در معادلات از اثر وزن اعضاء قطری صرف نظر کرد. شکل ۷، مدل ریاضی عضو قطری در طبقه اول (منظور پایین ترین طبقه) ساختمان را که از یک انتهای (از طریق اتصال به صفحه هی ستون) مقید است و شکل ۸، مدل ریاضی عضو قطری در سایر طبقات ساختمان را نمایش می دهند.

در این نوع مدل ها جهت بارگذاری تغییر دمایی دیگر نمی توان از روابط ۶ و ۷ استفاده کرد. ولی با مدل سازی این اعضاء به صورت یک فنر سری معادل و به کار بردن



شکل ۶. قاب مهاربندی شده و مدل ریاضی اعضاء مهاربندی.



شکل ۷. مدل ریاضی عضو مهاربندی در طبقه اول.

لرزه‌بی لازم است مدل سازه اصلاح و پس از اختصاص تغییرات دمایی متناظر با نیروهای کششی و فشاری مورد انتظار مهاربندها به مهاربندها، اجزاء سازه مجدداً برای ترکیبات بارگذاری فوق مورد کنترل قرار گیرد و در صورت بزرگ‌تر بودن مقدار تقاضا از ظرفیت در اعضا، باید مقاطع قوی‌تری به آن اعضا اختصاص داده شود.

#### ۴. ارائه‌ی یک مثال از روش بارگذاری تغییر دمایی و مقایسه‌ی نتایج آن با روش بارگذاری نیرویی

در این بخش با ارائه‌ی یک مثال، روش بارگذاری تغییر دمایی توضیح داده شده و برای صحبت‌سنجی، نتایج آن با روش متدال بارگذاری نیرویی مقایسه شده است.

##### ۱. مشخصات قاب مورد مطالعه

مدل مورد بررسی یک قاب مهاربندی فولادی با شکل‌پذیری ویژه است. این قاب دو بعدی ۱۰ طبقه با ابعاد و اندازه در شکل ۹ نشان داده شده است. در بارگذاری سازه از بار مرده و زنده طبقات به صورت بار خطي به ترتیب برابر ۴۰۰۰ و ۱۲۰۰ کیلوگرم بر متر طول، به تیرها اختصاص داده شده است. در بارگذاری سازه از آئین‌نامه‌ی ASCE ۷ استفاده شده است. در این نوشتار، نیروی جانبی زلزله‌ی مؤثر در سازه با استفاده از روش استاتیکی معادل صورت گرفته و ضریب زلزله برابر با توجه به اینکه در بیشتر مواقع حالت نیروی فشاری مهاربندها برابر  $1/14 F_{cre} A_g$  باز است، از حالت نیروی فشاری مهاربندها برابر  $1/14 F_{cre} A_g \times 1/3 = 1/4 F_{cre} A_g$  تعیین شده است، لذا رابطه ۱۶ براساس آن تنظیم شده است.

با اختصاص دادن این تغییر دمایا به اعضاء مهاربندی، نیروهای  $T$  و  $C$  در مهاربندها ایجاد و در نتیجه این نیروها به تیرها و ستون‌ها اعمال خواهد شد. در تصریه‌ی این بند آئین‌نامه عنوان شده است که برای این کنترل از خمین ناشی از تغییر مکان جانبی نسی می‌توان صرف نظر کرد، در نتیجه باید کف طبقات در برابر حرکت جانبی محدود شوند. پس از بارگذاری تغییر دمایی به مهاربندهای کششی و فشاری (رابطه ۱۵ و ۱۶)، سازه تحلیل می‌شود. خروجی‌های تحلیل ناشی از بارگذاری تغییر دمایی در مهاربندها باید با مقادیر نیروهای  $T$  و  $C$  (مقادیر روابط ۲ و ۳) برابر باشند.

پس از به وجود آمدن نیروهای ذکر شده در آئین‌نامه، در اعضاء مهاربندی مطابق روال ذکر شده‌ای خیر، نوبت به طراحی سازه تحت این بارها و در حضور بارهای قفلی ضریب‌دار (در صورتی که آئین‌نامه طراحی براساس LRFD باشد) و یا بارهای قفلی بدون ضریب (در صورتی که آئین‌نامه طراحی براساس ASD باشد) می‌رسد. برای کنترل این بند آئین‌نامه کافی است در ترکیبات بارگذاری آئین‌نامه موردنظر، پارامتر نیروی زلزله‌ی (E) موجود در ترکیب بارها، با پارامترهای  $T$  و  $C$  جایگزین شود. به عنوان مثال اگر آئین‌نامه بارگذاری ASCE ۷ باشد و در سازه طراحی شود، کافی است در کنترل و یا طراحی طراحی سازه از روش LRFD استفاده شده باشد، کافی است در کنترل و یا طراحی مجدد تیرها و ستون‌ها از ترکیبات بارگذاری مطابق روابط ۱۷ الی ۲۰ استفاده شود:

اعضاء مهاربندها، کرنش‌های حرارتی را در این اعضا حذف و استفاده از بارگذاری تغییر دمایی را در این اعضا عملی کرد.

نحوه‌ی اعمال بارگذاری تغییر دمایی به این صورت است که با توجه به واحدهای پارامترهای  $A$ ,  $P$ ,  $F_y$  و  $F_{cre}$  که در روابط ۱۵ و ۱۶ برای بدست آوردن  $\Delta T_T$  و  $\Delta T_C$  بدکار برد شده‌اند، یک نوع فولاد با مشخصات فولاد مورد استفاده در سازه با مدول کشسانی واحد در نرم‌افزار ایجاد کرد، سپس مصالح مهاربندهای مورد استفاده در سازه موجود به این فولاد تغییر داده شود. این کار باعث حذف کرنش‌های حرارتی در اعضاء مهاربندی و همچنین پارامتر مدول کشسانی از این روابط می‌شود. با این تغییر، سختی محوری عضو مهاربند در مقابل سختی گره اتصال ابتدا و انتهایش ناچیز می‌شود. به طوری که می‌توان عضو مهاربندی را به صورت مقید شده از دو انتها در نظر گرفت، در نتیجه برای بارگذاری تغییر دمایی می‌توان از روابط ۶ و ۷ استفاده کرد. تغییر دمایی متناظر نیروی کششی با حذف پارامتر مدول کشسانی (E) از رابطه ۵، در نهایت از رابطه ۱۵ بدست می‌آید:

$$\Delta T_T = -\frac{P}{A\alpha} = -\frac{R_y F_y A_g}{A\alpha} \Rightarrow \Delta T_T = -\frac{R_y F_y}{\alpha} \quad (15)$$

تغییر دمایی متناظر نیروی فشاری نیز طبق رابطه ۱۶ بدست می‌آید:

$$\Delta T_C = \frac{P}{A\alpha} = \frac{1/14 F_{cre} A_g}{A\alpha} \Rightarrow \Delta T_C = \frac{1/14 F_{cre}}{\alpha} \quad (16)$$

با توجه به اینکه در بیشتر مواقع حالت نیروی فشاری مهاربندها برابر  $1/14 F_{cre} A_g$  باز است، از حالت نیروی فشاری مهاربندها برابر  $1/14 F_{cre} A_g \times 1/3 = 1/4 F_{cre} A_g$  تعیین شده است، لذا رابطه ۱۶ براساس آن تنظیم شده است.

با اختصاص دادن این تغییر دمایا به اعضاء مهاربندی، نیروهای  $T$  و  $C$  در مهاربندها ایجاد و در نتیجه این نیروها به تیرها و ستون‌ها اعمال خواهد شد. در تصریه‌ی این بند آئین‌نامه عنوان شده است که برای این کنترل از خمین ناشی از تغییر مکان جانبی نسی می‌توان صرف نظر کرد، در نتیجه باید کف طبقات در برابر حرکت جانبی محدود شوند. پس از بارگذاری تغییر دمایی به مهاربندهای کششی و فشاری (رابطه ۱۵ و ۱۶)، سازه تحلیل می‌شود. خروجی‌های تحلیل ناشی از بارگذاری تغییر دمایی در مهاربندها باید با مقادیر نیروهای  $T$  و  $C$  (مقادیر روابط ۲ و ۳) برابر باشند.

پس از به وجود آمدن نیروهای ذکر شده در آئین‌نامه، در اعضاء مهاربندی مطابق روال ذکر شده‌ای خیر، نوبت به طراحی سازه تحت این بارها و در حضور بارهای قفلی ضریب‌دار (در صورتی که آئین‌نامه طراحی براساس LRFD باشد) و یا بارهای قفلی بدون ضریب (در صورتی که آئین‌نامه طراحی براساس ASD باشد) می‌رسد. برای کنترل این بند آئین‌نامه کافی است در ترکیبات بارگذاری آئین‌نامه موردنظر، پارامتر نیروی زلزله‌ی (E) موجود در ترکیب بارها، با پارامترهای  $T$  و  $C$  جایگزین شود. به عنوان مثال اگر آئین‌نامه بارگذاری ASCE ۷ باشد و در طراحی سازه از روش LRFD استفاده شده باشد، کافی است در کنترل و یا طراحی مجدد تیرها و ستون‌ها از ترکیبات بارگذاری مطابق روابط ۱۷ الی ۲۰ استفاده شود:

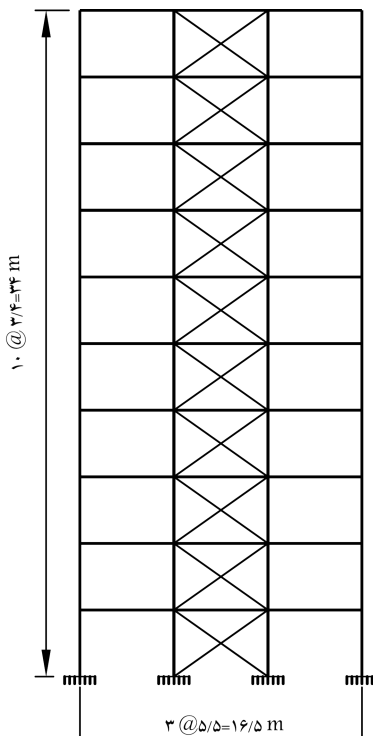
$$1/2 DL + 1 LL + E \Rightarrow 1/2 DL + 1 LL + (T + C) \quad (17)$$

$$1/2 DL + 1 LL + E \Rightarrow 1/2 DL + 1 LL + (T + C) \quad (18)$$

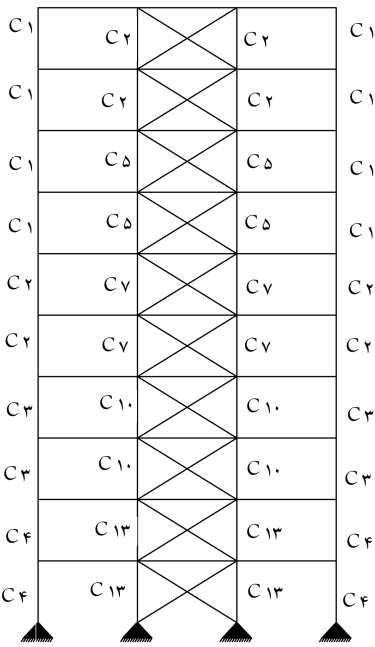
$$0/9 DL + E \Rightarrow 0/9 DL + (T + C) \quad (19)$$

$$0/9 DL - E \Rightarrow 0/9 DL - (T + C) \quad (20)$$

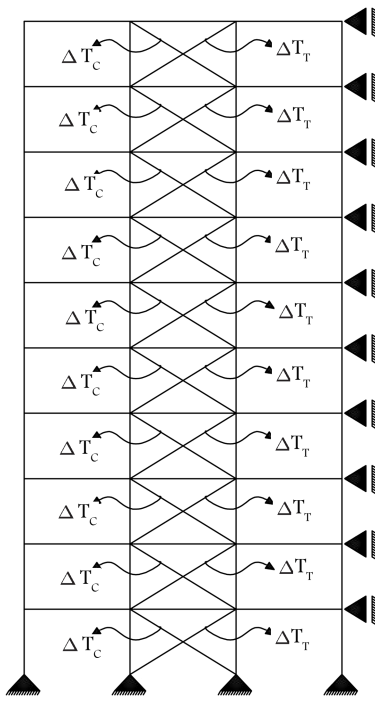
بنابراین بعد از طراحی اولیه‌ی سازه براساس ترکیبات بارگذاری متعارف و نیز کنترل مقاومت محوری ستون‌ها براساس ترکیبات بارگذاری تشخیص دیافت، برای انجام طراحی



شکل ۹. قاب مهاربندی شده مورد مطالعه.



شکل ۱۰. قاب طراحی شده براساس ترکیب بارگذاری متعارف و تشدیدیافته‌ی زلزله.



شکل ۱۱. نحوه‌ی بارگذاری تغییر دمایی.

سانتی‌متر مربع) به عدد ۱ تغییر و بارگذاری حرارتی مطابق جدول ۲، به مهاربندها اختصاص داده شده است.

همانگونه که از مقادیر جدول ۲ پیداست، تغییر دمای متناظر اعضاء کششی برای تمامی مقاطع و همچنین در تمام طبقات سازه یکسان و مستقل از نوع مقطع است. چراکه طبق رابطه‌ی ۱۵، تغییر دمای متناظر اعضاء کششی فقط به پارامترهای  $F_y$ ,  $R_y$  و  $\alpha$  وابسته است.

در نهایت، سازه باید برای ترکیب بارهای ذکر شده مطابق روابط ۱۷ الی ۲۰

جدول ۱. مقاطع استفاده شده در قاب مورد مطالعه.

| المان | نام مقطع                                     | مشخصات (میلی‌متر) |
|-------|--|-------------------|
| C1    | BOX ۱۵۰ × ۱۵۰ × ۸                            | C1                |
| C2    | BOX ۲۰۰ × ۲۰۰ × ۱۰                           | C2                |
| C3    | BOX ۲۰۰ × ۲۰۰ × ۱۲                           | C3                |
| C4    | BOX ۲۰۰ × ۲۰۰ × ۱۴                           | C4                |
| C5    | BOX ۲۵۰ × ۲۵۰ × ۱۸                           | C5                |
| C6    | BOX ۳۰۰ × ۳۰۰ × ۲۲                           | C6                |
| C7    | BOX ۳۵۰ × ۳۵۰ × ۲۴                           | C7                |
| C8    | BOX ۳۵۰ × ۳۵۰ × ۲۸                           | C8 Column         |
| C9    | BOX ۴۰۰ × ۴۰۰ × ۲۸                           | C9                |
| C10   | BOX ۴۰۰ × ۴۰۰ × ۳۲                           | C10               |
| C11   | BOX ۴۰۰ × ۴۰۰ × ۳۵                           | C11               |
| C12   | BOX ۴۵۰ × ۴۵۰ × ۳۸                           | C12               |
| C13   | BOX ۴۵۰ × ۴۵۰ × ۴۰                           | C13               |
| C14   | BOX ۵۰۰ × ۵۰۰ × ۴۰                           | C14               |
| C15   | BOX ۵۰۰ × ۵۰۰ × ۴۵                           | C15               |
| Br1   | BOX ۱۰۰ × ۱۰۰ × ۱۰                           |                   |
| Br2   | BOX ۱۲۰ × ۱۲۰ × ۱۲                           |                   |
| Br3   | BOX ۱۵۰ × ۱۵۰ × ۱۰                           | Brace             |
| Br4   | BOX ۱۵۰ × ۱۵۰ × ۱۲                           |                   |
| Br5   | BOX ۱۶۰ × ۱۶۰ × ۱۲                           |                   |
| Br6   | BOX ۱۶۰ × ۱۶۰ × ۱۵                           |                   |
| B1    | $t_w$ $H$ $t_f$ $b_f$<br>۱۰   ۲۴۰   ۲۰   ۱۵۰ | Beam              |

#### ۲.۴. تحلیل و طراحی مدل براساس ترکیب بارگذاری متعارف (مبنا) و تشدیدیافته‌ی زلزله

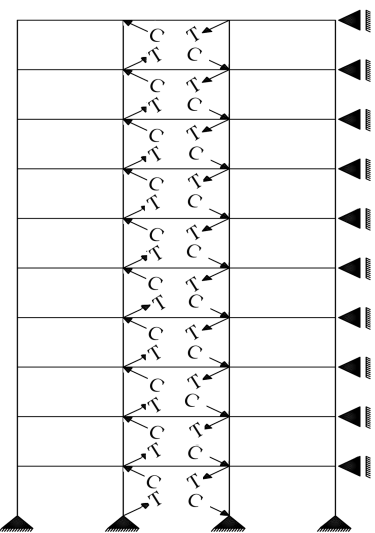
در این قسمت پس از مدل‌سازی قاب مورد مطالعه در محیط ETABS و بارگذاری آن براساس استاندارد ۲۸۰۰ ایران، ابتدا سازه برای ترکیبات بارگذاری متعارف (مبنا) طراحی و سپس مطابق الزامات و سوابط مبحث دهم مقررات ملی ساختمان ایران، مقاومت محوری ستون‌ها در برابر ترکیبات بارگذاری زلزله‌ی تشدیدیافته بازبینی شده است. در شکل ۱۰، ابعاد ارائه شده کلیه‌ی تیرها از نوع B1 و مقاطع مهاربندها مطابق مقادیر ارائه شده در جدول ۲ است.

#### ۳.۴. تحلیل و طراحی مدل براساس بارگذاری تغییر دمایی

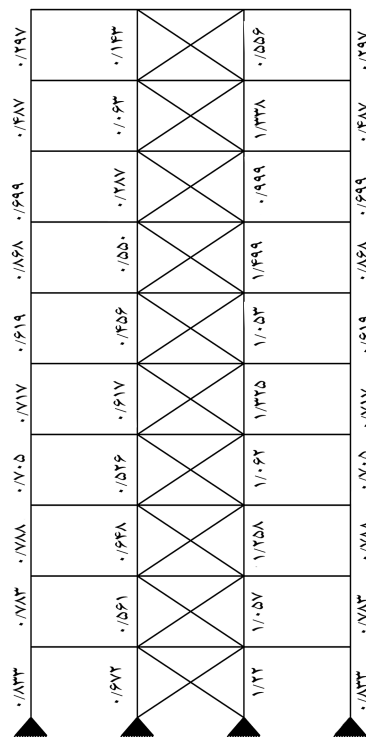
در مرحله‌ی دوم مطابق شکل ۱۱، کف طبقات در برای حرکت جانبی محدود شده است. همچنین مدول کشسانی اعضاء مهاربندها در نرم‌افزار (در واحد کیلوگرم بر

جدول ۲. تغییر دمایی اختصاص داده شده و نیروهای به دست آمده از خروجی های تحلیل در اعضاء مهاربندی براساس  $(R_y = 1/1, \alpha = 1/17 \times 10^{-5}, F_y = 240 \text{ kg/cm}^2)$

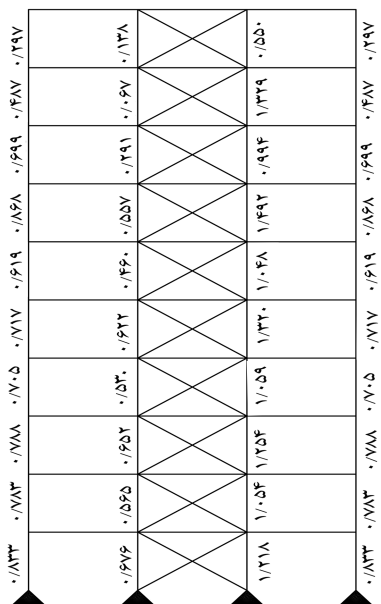
| ۱۰         | ۹          | ۸          | ۷ و ۶، ۵   | ۴ و ۳      | ۲ و ۱      | طبقه                              |
|------------|------------|------------|------------|------------|------------|-----------------------------------|
| BR۱        | BR۲        | BR۳        | BR۴        | BR۵        | BR۶        | قطعه مهاربند                      |
| ۹۵/۰۴      | ۱۳۶/۸۵۸    | ۱۴۷/۸۴     | ۱۷۴/۸۷۴    | ۱۸۷/۵۴۶    | ۲۲۹/۸۸     | $T (\text{ton})$                  |
| ۲۴/۳۸      | ۵۰/۵۶      | ۸۵/۴۹      | ۹۹/۳۰      | ۱۱۶/۵۷     | ۱۳۹/۵۴     | $C (\text{ton})$                  |
| -۲۲۵۶۴۱۰۲۵ | -۲۲۵۶۴۱۰۲۵ | -۲۲۵۶۴۱۰۲۵ | -۲۲۵۶۴۱۰۲۵ | -۲۲۵۶۴۱۰۲۵ | -۲۲۵۶۴۱۰۲۵ | $\Delta T_T$                      |
| ۵۷۸۹۰۱۵۵   | ۸۳۳۶۴۳۲۹   | ۱۳۰۴۶۱۶۴۰  | ۱۲۸۱۱۹۹۶۷  | ۱۴۰۲۴۳۹۲۹  | ۱۳۷۰۸۴۷۱۶  | $\Delta T_C$                      |
| ۹۵/۰۴      | ۱۳۶/۸۵۸    | ۱۴۷/۸۴     | ۱۷۴/۸۷۴    | ۱۸۷/۵۴۶    | ۲۲۹/۸۸     | $T_{\text{Analyze}} (\text{ton})$ |
| ۲۴/۳۸      | ۵۰/۵۶      | ۸۵/۴۹      | ۹۹/۳۰      | ۱۱۶/۵۷     | ۱۳۹/۵۴     | $C_{\text{Analyze}} (\text{ton})$ |



شکل ۱۳. بارگذاری نیرو برای کنترل الزامات طرحی لرزه‌یی.



شکل ۱۲. نسبت تنش در ستون‌ها به روش بارگذاری تغییر دمایی.

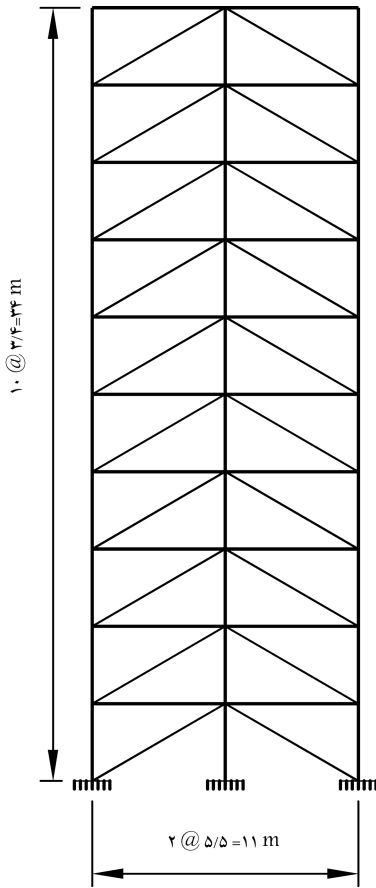


شکل ۱۴. نسبت تنش در ستون‌ها به روش بارگذاری نیرویی.

طراحی شود. در شکل ۱۲، مقادیر نسبت تنش تناقضاً به ظرفیت (DCR) ستون‌ها حاصل از ترکیب بار ( $1/2DL + 1LL + (T + C)$ ) نمایش داده شده است.

#### ۴. تحلیل و طراحی مدل براساس بارگذاری نیرویی

چنانچه مطابق شکل ۱۳، همان قاب براساس بارگذاری نیرویی طراحی شود، در مدل سازی آن باید مهاربند‌ها را حذف و کف طبقات را در برابر تغییر مکان جانی محدود کرد، و در امتداد مهاربند‌های حذف شده، نیروهای  $C$  و  $T$  نشان داده شده در شکل ۱۳ را در راستای افق و قائم تجزیه و به همراه بارهای تقاضی سازه تحلیل و طراحی کرد. پس از تحلیل و طراحی سازه با بارگذاری نشان داده شده در شکل ۱۳ به همراه بارهای ثقلی، نسبت تنش‌های حاصل از این روش مطابق شکل ۱۴ خواهد بود.

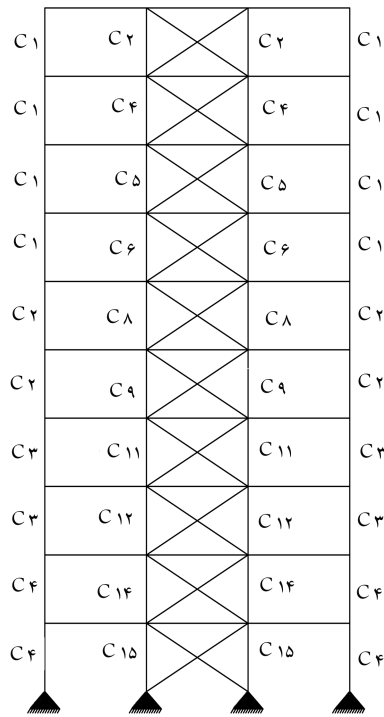


شکل ۱۶. قاب مهاربندی شده برای بررسی رفتار غیرخطی استاتیکی آن.

نوع قاب‌ها مورد مطالعه قرار گرفته است. مطابق سایر قاب‌های مورد مطالعه در این پژوهش، این قاب مهاربندی شده ابتدا به طور مجزا براساس هر دو آئین نامه‌ی مذکور بارگذاری، تحلیل کشسان، طراحی، و نهایتاً تحلیل غیرخطی استاتیکی شده است.

براساس نتایج تحلیل در طراحی کشسان قاب مذکور مطابق آئین نامه‌های ذکر شده، تفاوت‌هایی در وزن اسکلت حاصل شده است که در مقایسه با وزن کل اسکلت چندان قابل ملاحظه نیست. لیکن همان‌گونه که در شکل‌های ۱۷ الی ۱۹ نیز نمایش داده شده است، تفاوت‌های اساسی بین رفتار غیرخطی استاتیکی در طراحی براساس این دو آئین نامه مشاهده می‌شود. مطابق شکل ۱۷، در سازه‌ی طراحی شده براساس AISC ۲۰۰۵، پس از تشکیل مفاسل خمیری ناشی از کمانش مهاربندها در مهاربندی‌های فشاری با بازتوزیع نیروی جانبی، نیروی وارد بر مهاربندی‌های کششی افزایش یافته و باعث کماش زودهنگام ستون‌های میانی شده و مکانیزم رخ داده است. ولی در شکل ۱۸، که براساس آئین نامه ۱۰ AISC ۲۰۱۰ طراحی شده است، ملاحظه می‌شود که مفاسل خمیری در اعضاء بیشتری گسترش یافته و از ظرفیت تعییرشکلی مهاربندها بیشتر استفاده شده و کمانش در ستون‌ها به تعویق افتاده است. منحنی ظرفیت این قاب که در شکل ۱۹ آمده است، نیز مؤید همین موضوع است.

تفاوت‌های اساسی بین رفتار غیرخطی استاتیکی در طراحی براساس آئین نامه‌های AISC ۲۰۱۰ و AISC ۲۰۰۵ را می‌توان این‌گونه نیز نفسیه کرد که در قاب‌های ساختمانی ساده‌ی توأم با مهاربندی، ستون‌هایی که خارج از دهانه‌های مهاربندی قرار می‌گیرند و نیز ستون‌های میانی که در قاب‌های مشابه قاب شکل ۱۶، در وسط



شکل ۱۵. سازه‌ی طراحی شده براساس آئین نامه‌ی AISC ۳۴۱-۱۰.

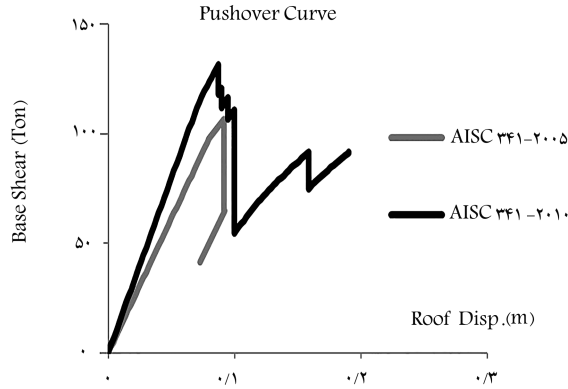
با مقایسه‌ی DCR خروجی تحلیل قاب‌ها مشاهده می‌شود که نتایج روش بارگذاری تغییر دمایی با روش بارگذاری نیروی تفاوتی ندارد و روش کاملاً دقیقی است.

برای منظور کردن اثر رفت و برگشتی زلزله باید نیروها و یا تغییر دمایی اختصاص داده شده به اعضاء مهاربندی، در اعضاء کششی و فشاری با هم عوض شود. در نتیجه روال طی شده‌ی ذکر شده برای حالت دوم نیز باید تکرار شود، که به علت مشابه بودن عملیات این حالت با حالت قبلی به جزئیات این حالت پرداخته نشده است. اگر این کار صورت پذیرد، در نهایت سازه‌ی طراحی شده مطابق شکل ۱۵ خواهد بود.

## ۵. مقایسه‌ی رفتار لرزه‌یی قاب‌های طراحی شده براساس

### AISC ۲۰۱۰ با آئین نامه‌ی AISC ۲۰۰۵

پس از مقایسه‌ی نتایج به دست آمده از تحلیل و طراحی قاب‌ها براساس آئین نامه‌ی AISC ۲۰۰۵ و آئین نامه‌ی AISC ۲۰۱۰ مشاهده شده است که در طراحی لرزه‌یی قاب‌های ساختمانی توأم با مهاربندی‌های هم‌کرای و یزه براساس آئین نامه‌ی AISC ۲۰۱۰ ایجاد شده است که در طراحی لرزه‌یی قاب‌های ساختمانی توأم با مهاربندی‌های هم‌کرای و یزه براساس آئین نامه‌ی AISC ۲۰۰۵ تغییرات به وجود آمده در وزن اسکلت ساختمان و نهایتاً در میزان هزینه‌ی مورد نیاز برای ساخت آن قابل ملاحظه نیست، لیکن به نظر می‌رسد این تغییرات هر چند کوچک و متقلیل اندک هزینه‌ی افزایش یافته ناشی از تغییر وزن اسکلت، موجب بهبود رفتار غیرخطی این‌گونه ساختمان‌ها می‌شود. به همین منظور در این قسمت سعی شده است که رفتار غیرخطی استاتیکی یک نمونه از قاب‌های مهاربندی شده، که براساس AISC ۲۰۱۰ طراحی شده است، با رفتار غیرخطی استاتیکی آن در حالتی که براساس AISC ۲۰۰۵ طراحی شده است، مورد مقایسه قرار گیرد. برای این منظور، مطابق شکل ۱۶ رفتار غیرخطی استاتیکی نمونه‌ی دیگری از این



شکل ۱۹. مقایسه‌ی منحنی ظرفیت سازه طراحی شده براساس آئین نامه‌ی ۲۰۰۵ AISC و AISC ۲۰۱۰.

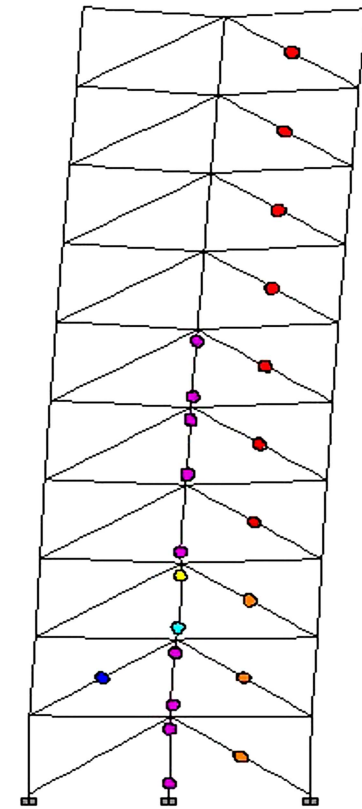
دو دهانه‌ی مهاربندی شده قرار می‌گیرند، به‌دلیل کشسان‌بودن تحلیل برای رعایت الزامات طراحی عموماً تحت اثر نیروهای زلزله‌ی کمتری قرار می‌گیرند و نیروهای حاکم بر طراحی این گونه ستون‌ها اکثراً نقلی است. لیکن با بدیهی این نکته توچه داشت که در هنگام وقوع زلزله، تحلیل‌های کشسان نمی‌توانند نتایج واقعی را نشان دهند، چرا که با ورود اعضاء مهاربند‌ها به مرحله‌ی غیرخطی و پس از افت مقاومت در آن‌ها، باز توزیع نیروی جانبی صورت می‌گیرد و به ستون‌های میانی نیز نیروی زلزله وارد می‌شود و در نتیجه، آنها نیز وارد مرحله‌ی غیرخطی خواهند شد. از طرف دیگر، تحمل بارهای نقلی توسط مهاربند‌ها، که ظرفیت شکل‌پذیری پایینی دارند، باعث کمیش زودهنگام آن‌ها می‌شود و ظرفیت استهلاک انرژی اعضاء مذکور به‌شدت کاهش می‌یابد. چرا که بخش عمده‌ی از ظرفیت محوری مهاربند‌ها صرف تحمل بارهای نقلی می‌شود و سازه عملکرد لرزه‌ی خوبی در برابر زلزله از خود نشان نخواهد داد.

## ۶. نتیجه‌گیری

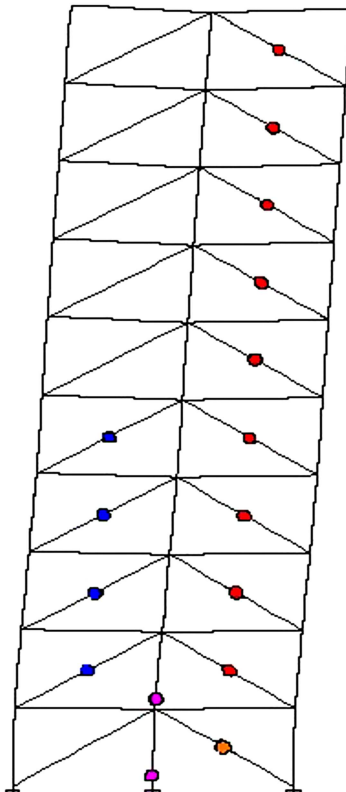
در این پژوهش، با مطالعه‌ی تعداد زیادی قاب ساختمانی توان با مهاربندی هم‌گرا با پیکربندی‌ها و تعداد طبقات مختلف، همچنین مقاطع و شرایط تکیه‌گاهی و سیستم برای جانبی متفاوت، روشی کارآمد برای طراحی لرزه‌ی این قاب‌ها با عنوان «روش بارگذاری تغییر دمایی» معرفی شده است. از مزایای این روش نسبت به روش‌های مرسوم و متداول بارگذاری نیرویی، می‌توان به این موارد اشاره کرد:

۱. روش بارگذاری تغییر دمایی، در قاب‌های با تعداد دهانه‌های مهاربندی زیاد و همچنین سازه‌های بلندمرتبه، نسبت به روش بارگذاری نیرویی روش بهتری است و باعث افزایش سرعت عمل و در نتیجه صرفه‌جویی در زمان تحلیل و طراحی سازه می‌شود. چرا که به‌دلیل درنظرگرفتن اثرات رفت و برگشتی زلزله این کنترل باید در ۲ مرتبه صورت پذیرد و سازه برای بدترین حالت ممکن طراحی شود و استفاده از بارگذاری نیرویی، مستلزم صرف زمان زیادی است. یکی دیگر از حسن‌های روش بارگذاری تغییر دمایی این است که تغییر دمایی متناظر اعضاء کششی برای تمام مقاطع و همچنین در تمام طبقات سازه یکسان و مستقل از نوع مقطع است.

۲. استفاده از روش بارگذاری تغییر دمایی نسبت به روش بارگذاری نیرویی، در روند بارگذاری به دقت کمتری نیاز دارد. همچنین پس از اختصاص دادن تغییر دماها



شکل ۱۷. قاب طراحی شده براساس آئین نامه‌ی ۲۰۰۵.



شکل ۱۸. قاب طراحی شده براساس آئین نامه‌ی ۲۰۱۰.

AISC341-10 قید شده است که در سیستم‌های قاب مهاربندی هم‌گرای و پره، تیرها و ستون‌ها باید برای نیروهای نظری تسلیم مورداً منتظر مهاربندها طراحی شوند. در این نوشتار نشان داده شده است که روش ایجاد تغییرات دما در اعضاء مهاربندی منتظر با نیروهای نظری تسلیم مورداً منتظر مهاربندها، یکی از ساده‌ترین و مؤثرترین روش‌ها جهت رعایت الزامات طراحی لزومی قاب‌های ساختمانی ساده توأم با مهاربندی بهشمار می‌رود.

به اعضاء مهاربندی و تحلیل سازه، با استفاده از خروجی‌های گرافیکی نرم‌افزار تحلیل‌گر می‌توان نیروی داخلی اعضاء مهاربندها در اثر بارگذاری تغییر دمایی را به راحتی کتّرل و از صحّت بارگذاری اطمینان پیدا کرد.

۳. رعایت الزامات ویرایش جدید آئین‌نامه‌ی AISC ۲۰۱۰ منجر به افزایش شکل‌پذیری این‌گونه سیستم‌های سازه‌یی می‌شود. زیرا در آئین‌نامه‌ی

## منابع (References)

1. BHRC, *Iranian Code of Practice for Seismic Resistant Design of Buildings: Standard No. 2800 (3rd Edition)*, Building and Housing Research Center (2005).
2. Sabelli, R., *Research on Improving the Seismic Behavior of Earthquake-Resistant Steel Braced Frames*, EERI/FEMA NEHRP Professional Fellowship Rep., Earthquake Engineering Research Institute, Oakland, CA (2001).
3. Uriz, P., Filippou, F.C. and Mahin, S.A. "Model for cyclic inelastic buckling of steel braces", *J. Struct. Eng.*, **134**(4), pp. 619-628 (2008).
4. Uriz, P. and Mahin, S.A., *Toward Earthquake-Resistant Design of Concentrically Braced Steel-Frame Structures*, PEER-2008/08, Pacific Earthquake Engineering Research Center (PEER), Univ. of California, Berkeley, Berkeley, CA (2008).
5. Uang, C.M. and Nakashima, M., *Steel Buckling-Restrained Frames*, (Chapter 16), Earthquake Engineering: From Engineering Seismology to Performance-Based Engineering, Y. Bozorgnia and V.V. Bertero, eds, CRC Press, Boca Raton, FL (2004).
6. Mofid, M. and Lotfollahi, M. "On the characteristics of new ductile knee bracing systems", *Journal of Constructional Steel Research*, **62**(3), pp. 271-281 (2006).
7. MHUD, *Iranian National Building Code, Part 10, Steel Structure Design*, Tehran (Iran), Ministry of Housing and Urban Development (2013).
8. *Seismic Provisions for Structural Steel Buildings*, American Institute of Steel Construction (AISC341), pp. 52-53 (2010).
9. *Seismic Provisions for Structural Steel Buildings*, American Institute of Steel Construction (AISC341), pp. 44-48 (2005)
10. *Specification for Structural Steel Buildings*, American Institute of Steel Construction (AISC360) (2010).
11. *Minimum Design Loads for Buildings and Other Structures*, American Society of Civil Engineers (ASCE7), pp. 7 (2010).
12. ETABS, *Integrated Building Design Software, Nonlinear Version 9.7.3*, Berkeley (California), USA: Inc. (1995)
13. Asghari, A., *Dynamics of Structures*, Amirkabir University of Technology, Tehran, Iran (2013).